



UNIVERSIDAD DE BUENOS AIRES
FACULTAD DE INGENIERÍA
Año 2015 - 1^{er} Cuatrimestre

CIRCUITOS ELECTRÓNICOS I (66.08)

INTEGRANTES:

Menéndez, Martín Nicolás

92830

Índice

1. Transistor Bipolar de Juntura	2
1.1. Modelo de pequeña señal	2
1.1.1. Emisor común	3
1.1.2. Colector común	3
1.1.3. Base común	4
2. MOSFET y JFET	4
2.1. Modelo de pequeña señal	5
2.1.1. Source común	6
2.1.2. Drain común	6
2.1.3. Gate común	7

1. Transistor Bipolar de Juntura

Modo activo directo:

NPN:

$$V_{CEQ} > V_{BEQ} = 0,7V$$

PNP:

$$V_{CEQ} < V_{BEQ} = -0,7V$$

$$I_B = \frac{I_C}{\beta} = \frac{I_E}{\beta + 1}$$

Saturación:

NPN:

$$V_{CEQ} < V_{BEQ} = 0,7V$$

PNP:

$$V_{CEQ} > V_{BEQ} = -0,7V$$

$$I_C \sim \frac{V_{CC} - V_{EE}}{R_C + R_E}$$

Corte:

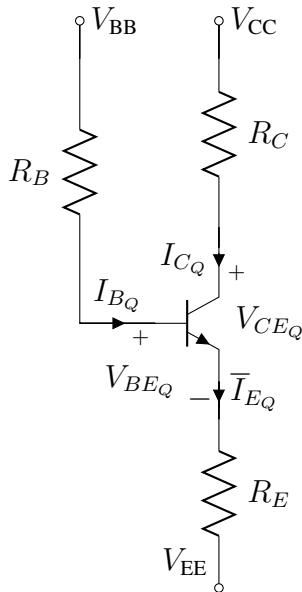
NPN:

$$V_{BEQ} = 0,7V$$

PNP:

$$V_{BEQ} = -0,7V$$

$$I_C = I_B = I_E = 0$$



Malla de entrada:

$$V_{BB} - I_{BQ}R_B - V_{BEQ} - I_{EQ}R_E - V_{EE} = 0$$

$$I_{BQ} = \frac{V_{BB} - V_{BEQ} - V_{EE}}{R_B + (\beta + 1)R_E} = \frac{I_{CQ}}{\beta}$$

Malla de salida:

$$V_{CC} - I_{CQ}R_C - V_{CEQ} - I_{EQ}R_E - V_{EE} = 0$$

$$I_{CQ} = \frac{V_{CC} - V_{CEQ} - V_{EE}}{R_C + R_E}$$

Recta de carga estática:

$$I_{CQ} = \frac{V_{CC} - V_{EE}}{R_C + R_E} - \frac{V_{CEQ}}{R_C + R_E}$$

Recta de carga dinámica:

$$i_C(t) = I_{CQ} + \frac{V_{CEQ}}{R_{CL} + R_E} - \frac{v_{CE}(t)}{R_{CL} + R_E}$$

Figura 1.1: Circuito en continua

1.1. Modelo de pequeña señal

$$R_{ib} = \frac{v_b}{i_b} = \frac{i_b r_\pi + i_e R_E}{i_b} = \frac{i_b (r_\pi + (\beta + 1)R_E)}{i_b} \sim r_\pi + \beta R_E = r_\pi (1 + g_m R_E)$$

$$R_{ic} = \frac{v_c}{i_c} = \frac{i_c r_o + i_c r_o \left(\beta \frac{R_E}{R_E + R_B + r_\pi} \right)}{i_c} = r_o \left(1 + \frac{\beta R_E}{R_E + R_B + r_\pi} \right)$$

$$R_{ie} = \frac{v_e}{i_e} = \frac{v_e}{\frac{v_e}{r_\pi + R_B \parallel R_s} (\beta + 1)} = \frac{r_\pi + R_B \parallel R_s}{\beta + 1}$$

$$g_m = \frac{I_{CQ}}{V_T}$$

$$r_\pi = \frac{\beta}{g_m} = \beta \frac{V_T}{I_{CQ}} = \frac{V_T}{I_{BQ}}$$

$$r_o = \frac{V_A}{I_{CQ}}$$

1.1.1. Emisor común

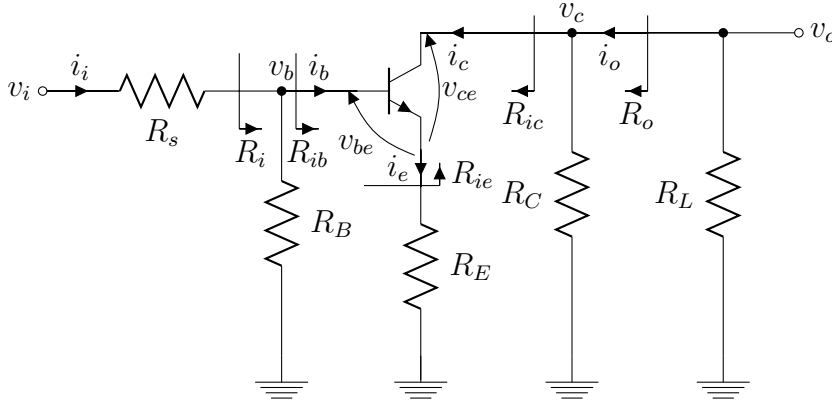


Figura 1.2: Circuito de alterna emisor común

$$R_i = R_B \parallel R_{ib} = R_B \parallel r_\pi(1 + g_m R_E)$$

$$R_o = R_C \parallel R_{ic} = R_C \parallel r_o \left(1 + \frac{\beta R_E}{R_E + R_B + r_\pi} \right)$$

$$A_v = \frac{v_c}{v_b} = \frac{-g_m v_{be} R_{CL}}{v_b} = \frac{-g_m v_b \frac{r_\pi}{r_\pi + \beta R_E} R_{CL}}{v_b} = \frac{-g_m r_\pi R_{CL}}{r_\pi + \beta R_E} = \frac{-g_m r_\pi R_{CL}}{r_\pi + g_m r_\pi R_E} = \frac{-g_m R_{CL}}{1 + g_m R_E}$$

$$A_{vs} = \frac{v_o}{v_i} = \frac{v_c}{v_b} \frac{v_b}{v_i} = A_v \frac{R_i}{R_i + R_s}$$

1.1.2. Colector común

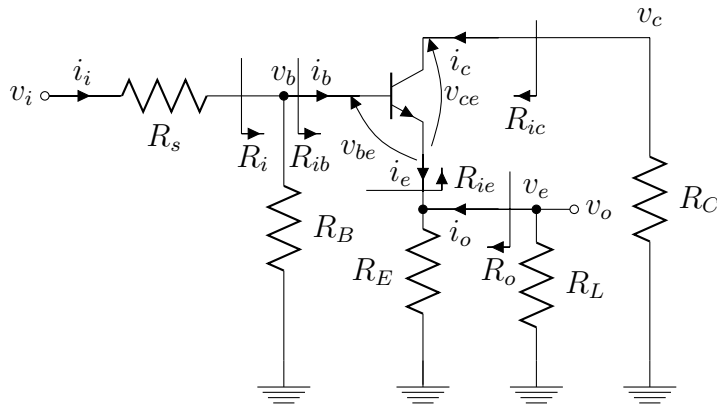


Figura 1.3: Circuito de alterna colector común

$$R_i = R_B \parallel R_{ib} = R_B \parallel r_\pi(1 + g_m R_E)$$

$$R_o = R_E \parallel R_{ie} = R_E \parallel \left(\frac{r_\pi + R_B \parallel R_s}{\beta + 1} \right)$$

$$A_v = \frac{v_e}{v_b} = \frac{g_m v_{be} R_{E_L}}{v_b} = \frac{g_m v_b \frac{r_\pi}{r_\pi + \beta R_{E_L}} R_{E_L}}{v_b} = \frac{g_m r_\pi R_{E_L}}{r_\pi + g_m r_\pi R_{E_L}} = \frac{g_m R_{E_L}}{1 + g_m R_{E_L}} \sim 1$$

$$A_{vs} = \frac{v_o}{v_i} = \frac{v_e}{v_b} \frac{v_b}{v_i} = A_v \frac{R_i}{R_i + R_s}$$

1.1.3. Base común

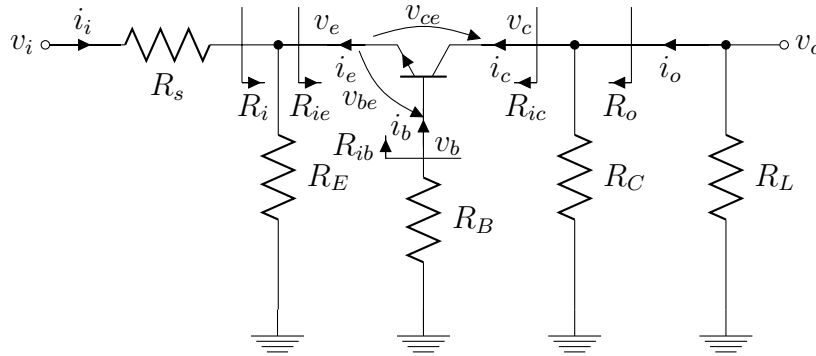


Figura 1.4: Circuito de alterna base común

$$R_i = R_E \parallel R_{ie} = R_E \parallel \frac{r_\pi + R_B \parallel R_s}{\beta + 1}$$

$$R_o = R_C \parallel R_{ic} = R_C \parallel r_o \left(1 + \frac{\beta R_E}{R_E + R_B + r_\pi} \right)$$

$$A_v = \frac{v_c}{v_e} = \frac{-g_m v_{be} R_{C_L}}{v_e} = \frac{-g_m v_e \left(\frac{-r_\pi}{r_\pi + R_B} \right) R_{C_L}}{v_e} = \frac{g_m r_\pi R_{C_L}}{r_\pi + R_B} = \frac{\beta R_{C_L}}{r_\pi + R_B}$$

$$A_{vs} = \frac{v_o}{v_i} = \frac{v_c}{v_e} \frac{v_e}{v_i} = A_v \frac{R_i}{R_i + R_s}$$

2. MOSFET y JFET

MOSFET:

Modo óhmico:

Canal N:

$$V_{GS} > V_T \text{ y } V_{DS} < V_{GS} - V_T$$

Canal P:

$$V_{GS} < V_T \text{ y } V_{DS} > V_{GS} - V_T$$

↓

$$I_D = k \left(V_{GS} - V_T - \frac{V_{DS}}{2} \right) V_{DS}$$

Saturación:

Canal N:

$$V_{GS} > V_T \text{ y } V_{DS} > V_{GS} - V_T$$

Canal P:

$$V_{GS} < V_T \text{ y } V_{DS} < V_{GS} - V_T$$

↓

$$I_D = \frac{k}{2} (V_{GS} - V_T)^2 (1 + \lambda V_{DS})$$

Corte:

Canal N:

$$V_{GS} < V_T$$

Canal P:

$$V_{GS} > V_T$$

↓

$$I_D = I_S = I_G = 0$$

JFET:

<p>Modo triodo:</p> <p>Canal N: $V_{GS} > V_p$ y $0 < V_{DS} < V_{GS} - V_p$</p> <p>Canal P: $V_{GS} < V_p$ y $0 > V_{DS} > V_{GS} - V_p$</p> <p style="text-align: center;">↓</p> $I_D = 2 \frac{I_{DSS}}{V_p^2} \left(V_{GS} - V_p - \frac{V_{DS}}{2} \right) V_{DS}$	<p>Estrangulamiento:</p> <p>Canal N: $V_{GS} < V_p$ y $V_{DS} < V_{GS} - V_p < 0$</p> <p>Canal P: $V_{GS} > V_p$ y $V_{DS} > V_{GS} - V_p > 0$</p> <p style="text-align: center;">↓</p> $I_{DSS} \left(1 - \frac{V_{GS}}{V_p} \right)^2 (1 + \lambda V_{DS})$	<p>Corte:</p> <p>Canal N: $V_{GS} > V_p$</p> <p>Canal P: $V_{GS} < V_p$</p> <p style="text-align: center;">↓</p> $I_D = I_S = I_G = 0$
---	---	---

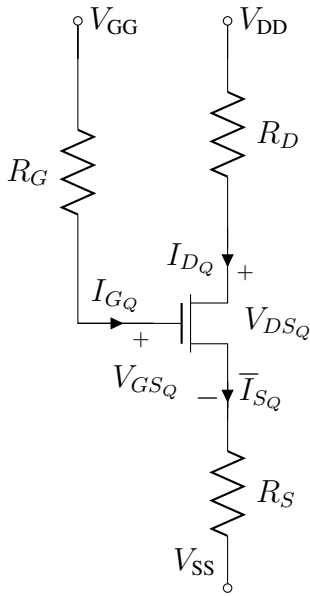


Figura 2.1: Circuito en continua

Malla de entrada:

$$V_{GG} - I_{GQ} R_G - V_{GSQ} - I_{SQ} R_S - V_{SS} = 0$$

$$I_{GQ} = 0$$

$$I_{DQ} = I_{SQ} = \frac{V_{GG} - V_{GSQ} - V_{SS}}{R_S}$$

Malla de salida:

$$V_{DD} - I_{DQ} R_D - V_{DSQ} - I_{SQ} R_S - V_{SS} = 0$$

$$I_{DQ} = I_{SQ} = \frac{V_{DD} - V_{DSQ} - V_{SS}}{R_D + R_S}$$

Recta de carga estática:

$$I_{DQ} = \frac{V_{DD} - V_{SS}}{R_D + R_S} - \frac{V_{DSQ}}{R_D + R_S}$$

Recta de carga dinámica:

$$i_D(t) = I_{DQ} + \frac{V_{DSQ}}{R_{DL} + R_S} - \frac{v_{DS}(t)}{R_{DL} + R_S}$$

2.1. Modelo de pequeña señal

$$R_{ig} = \frac{v_g}{i_g} = \frac{i_g r_{gs} + i_s R_S}{i_g} = \frac{i_g (r_{gs} + (\beta + 1) R_S)}{i_g} \sim r_{gs} + \beta R_S = r_{gs} (1 + g_m R_S) \rightarrow \infty$$

$$R_{id} = \frac{v_d}{i_d} = \frac{i_d r_{ds} + i_d r_{ds} \left(\beta \frac{R_S}{R_S + R_G + r_{gs}} \right)}{i_d} = r_{ds} \left(1 + \frac{g_m r_{gs} R_S}{R_S + R_G + r_{gs}} \right) = r_{ds} (1 + g_m R_S)$$

$$R_{is} = \frac{v_s}{i_s} = \frac{v_s}{\frac{v_s}{r_{gs} + R_G \parallel R_S} (g_m r_{gs} + 1)} = \frac{r_{gs} + R_G \parallel R_S}{g_m r_{gs} + 1} \sim \frac{1}{g_m}$$

$$g_m = 2\sqrt{k I_{DQ}}$$

$$r_{ds} = \frac{1}{\lambda I_{DQ}}$$

2.1.1. Source común

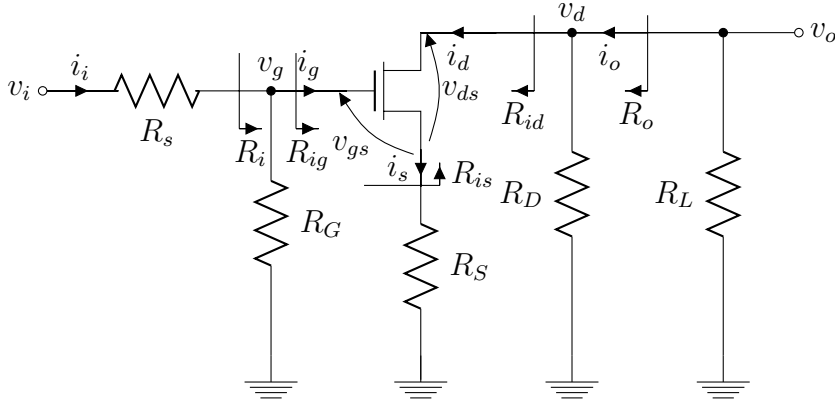


Figura 2.2: Circuito de alterna emisor común

$$R_i = R_G \parallel R_{ig} = R_G$$

$$R_o = R_D \parallel R_{id} = R_D \parallel r_{ds} (1 + g_m R_S) = R_D$$

$$A_v = \frac{v_d}{v_g} = \frac{-g_m v_{gs} R_D}{v_g} = \frac{-g_m v_g \frac{r_{gs}}{r_{gs} + g_m r_{gs} R_S} R_D}{v_g} = -\frac{g_m r_{gs} R_D}{r_{gs} + g_m r_{gs} R_S} = \frac{-g_m R_D}{1 + g_m R_S}$$

$$A_{vs} = \frac{v_o}{v_i} = \frac{v_d}{v_g} \frac{v_g}{v_i} = A_v \frac{R_i}{R_i + R_s}$$

2.1.2. Drain común

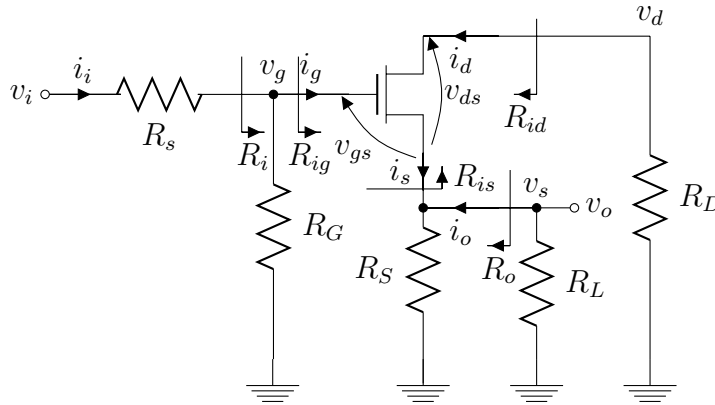


Figura 2.3: Circuito de alterna drain común

$$R_i = R_G \parallel R_{ig} = R_G \parallel r_{gs} (1 + g_m R_S) \sim R_G$$

$$R_o = R_S \parallel R_{is} = R_S \parallel \left(\frac{r_{gs} + R_G \parallel R_s}{g_m r_{gs} + 1} \right) \sim R_S \parallel \left(\frac{1}{g_m} \right)$$

$$A_v = \frac{v_s}{v_g} = \frac{g_m v_{gs} R_{SL}}{v_g} = \frac{g_m v_g \frac{r_{gs}}{r_{gs} + g_m r_{gs} R_{SL}} R_{SL}}{v_g} = \frac{g_m r_{gs} R_{SL}}{r_{gs} + g_m r_{gs} R_{SL}} = \frac{g_m R_{SL}}{1 + g_m R_{SL}} \sim 1$$

$$A_{vs} = \frac{v_o}{v_i} = \frac{v_s}{v_g} \frac{v_g}{v_i} = A_v \frac{R_i}{R_i + R_s}$$

2.1.3. Gate común

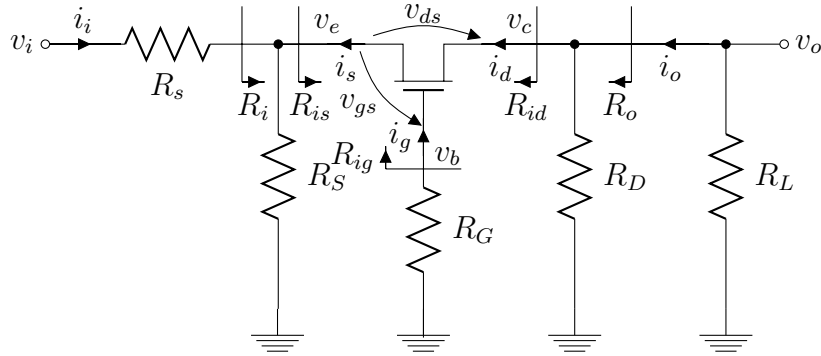


Figura 2.4: Circuito de alterna gate común

$$R_i = R_S \parallel R_{is} = R_S \parallel \left(\frac{r_{gs} + R_G \parallel R_s}{g_m r_{gs} + 1} \right) \sim R_S \parallel \left(\frac{1}{g_m} \right)$$

$$R_o = R_D \parallel R_{id} = R_D \parallel r_{ds} \left(1 + \frac{g_m r_{gs} R_S}{R_S + R_G + r_{gs}} \right) \sim R_D \parallel r_{ds} (1 + g_m R_S)$$

$$A_v = \frac{v_d}{v_s} = \frac{-g_m v_{gs} R_{DL}}{v_s} = \frac{-g_m v_s \left(\frac{-r_{gs}}{r_{gs} + R_G} \right) R_{DL}}{v_s} = \frac{g_m r_{gs} R_{DL}}{r_{gs} + R_G} \sim g_m R_{DL}$$

$$A_{vs} = \frac{v_o}{v_i} = \frac{v_d}{v_s} \frac{v_s}{v_i} = A_v \frac{R_i}{R_i + R_s}$$

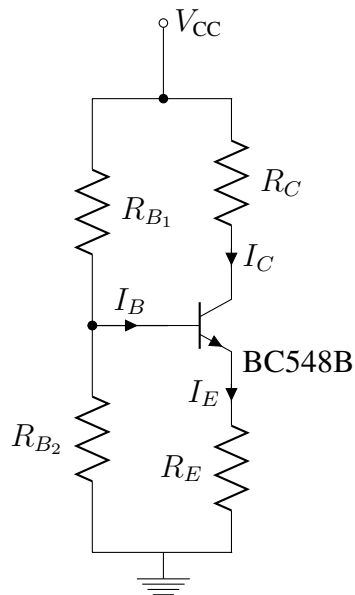
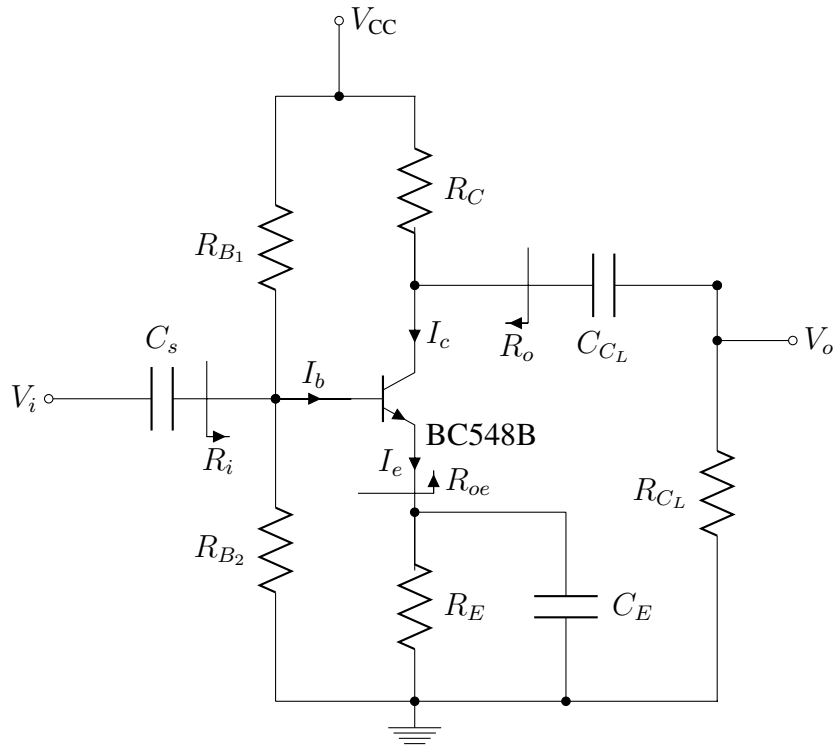
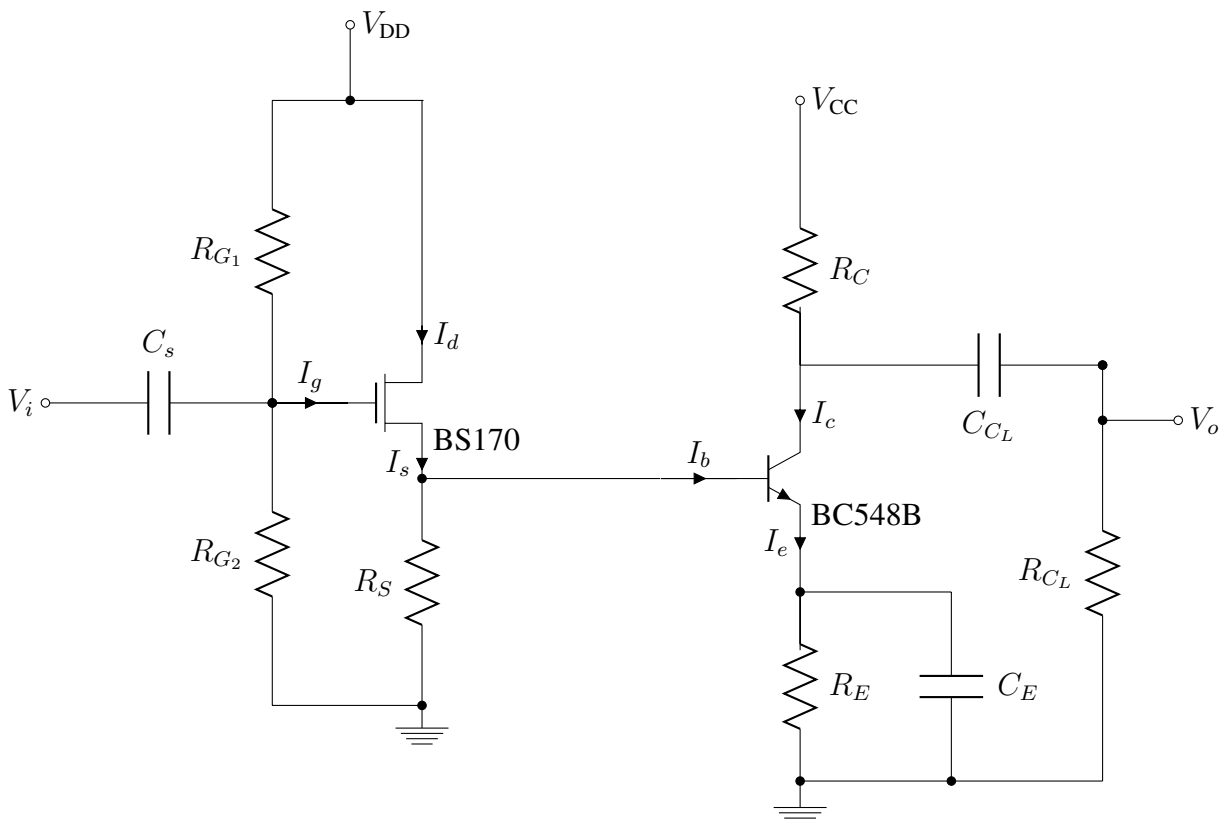
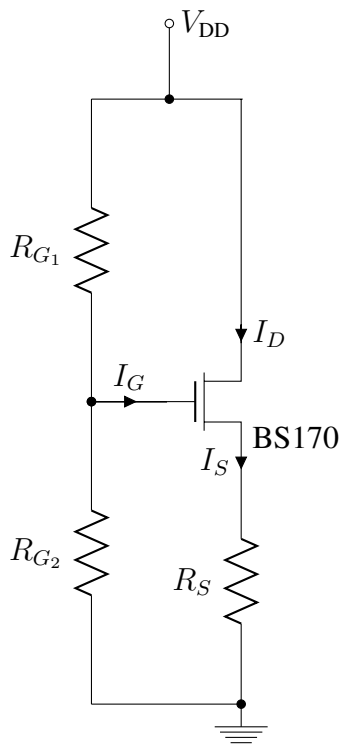
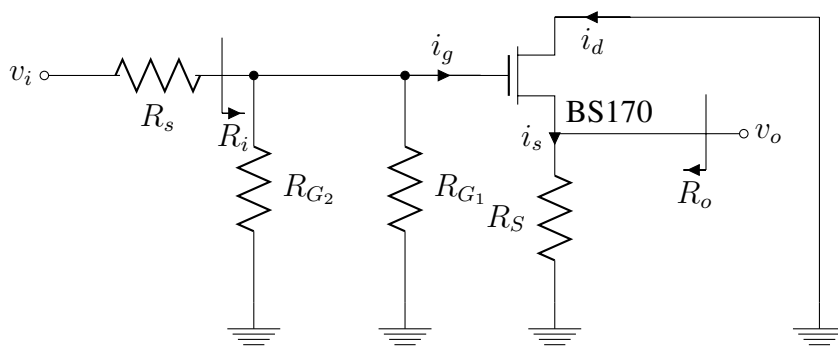


Figura 2.5: Circuito en Continua

**Figura 2.6:** Circuito propuesto**Figura 2.7:** Circuito dos etapas

**Figura 2.8:** Circuito en Continua**Figura 2.9:** Circuito en señal

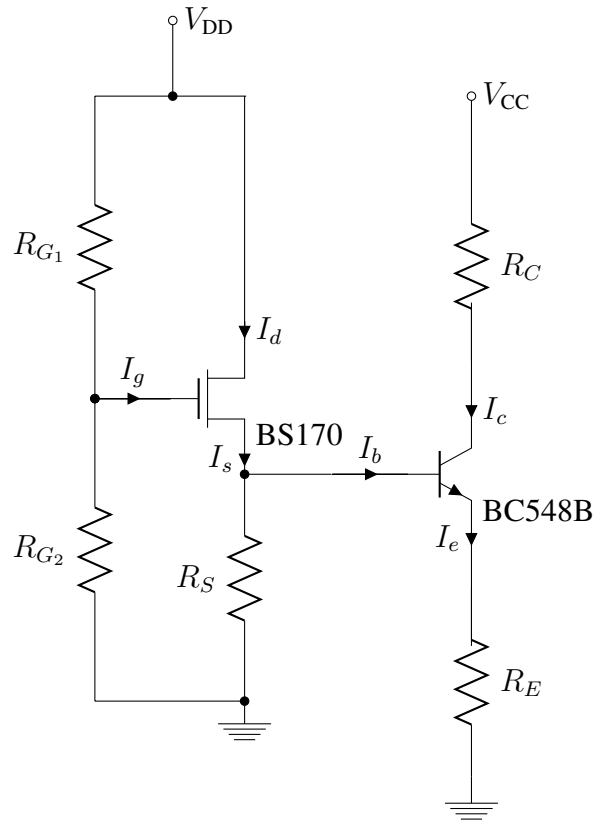


Figura 2.10: Circuito en Continua

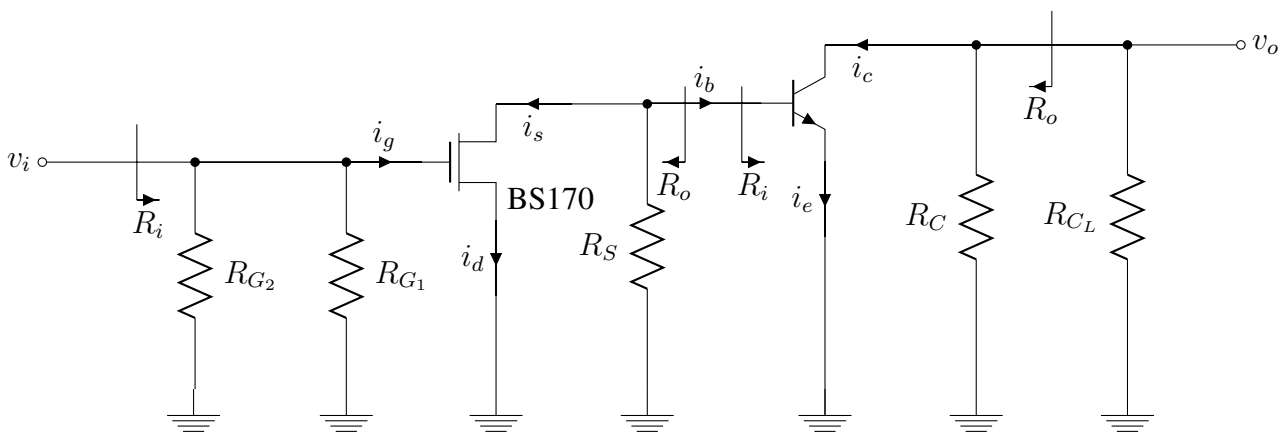
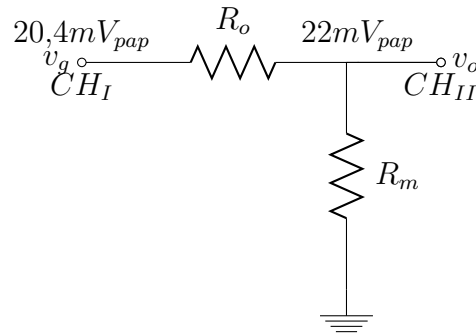
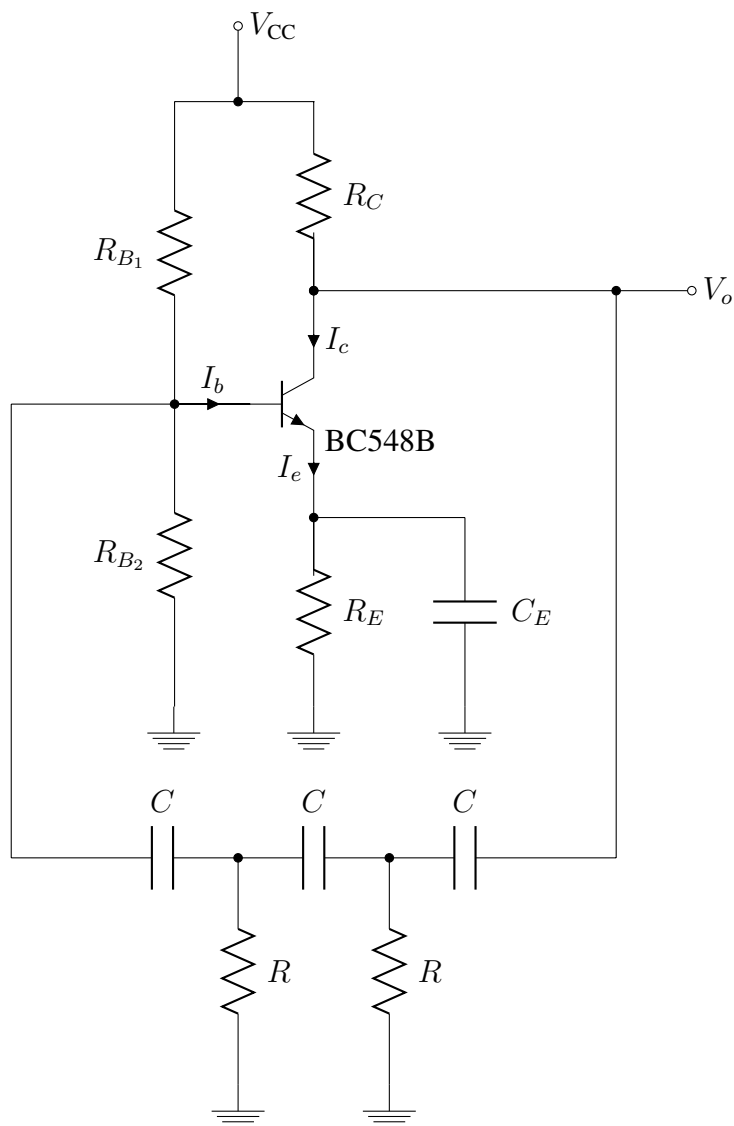


Figura 2.11: Circuito en señal

**Figura 2.12:** Banco de medición equivalente**Figura 2.13:** Oscilador de corrimiento de fase